# 慢性间歇性缺氧大鼠脂肪组织中 $TLR4 \setminus JNK$ 和血中 $TNF-\alpha \setminus Leptin$ 的变化

龙冠晗 陈梅晞 成 俊

摘要 目的 探讨 Toll 样受体 4(TLR4)、c-Jun 氨基末端激 酶(JNK)、肿瘤坏死因子  $\alpha(TNF-\alpha)$ 、瘦素(Leptin) 与慢性间 歇性缺氧(CIH)的关系。方法 将24只SD大鼠随机分成3 组: 对照组、CIH 6 周组、CIH 8 周组 ,每组 8 只。造模成功 后 采用无创血压分析仪观察大鼠血压变化 出 染色观察肾 动脉病理学改变 ,采用 ELISA 法检测血清 TNF-α、Leptin 的 含量 利用实时荧光定量 PCR 技术检测大鼠脂肪组织中 TLR4、JNK mRNA 表达水平。结果 模型组大鼠血压明显 高于对照组(P<0.01) 且模型组大鼠肾动脉病理变化较对 照组显著加重; CIH 6 周组和 CIH 8 周组的血清 TNF-α、Leptin 的含量与对照组比较显著增加(P < 0.01),且  $TNF-\alpha$ 、 Leptin 的含量随缺氧天数的增加而显著增加(P < 0.01); CIH 6 周组和 CIH 8 周组的 TLR4、JNK mRNA 水平比对照组 显著增加(P<0.01) ,且 TLR4、JNK mRNA 水平随缺氧天数 的增加而显著增加(P < 0.01)。结论 TLR4、JNK、TNF- $\alpha$ 、 Leptin 可能参与了 CIH 大鼠的炎症反应。

关键词 慢性间歇性缺氧; Toll 样受体 4; c-Jun 氨基末端激酶; 肿瘤坏死因子- $\alpha$ ; 瘦素

中图分类号 R 56

文献标志码 A 文章编号 1000-1492(2014)02-0168-05

阻塞性睡眠呼吸暂停综合征(obstructive sleep apnea syndrome ,OSAS) 是由于睡眠时反复发生上气道塌陷、气流受阻引起的具有特征性的呼吸暂停和低通气,从而导致机体发生一系列病理生理改变的临床综合征<sup>[1]</sup>。已知 OSAS 与慢性阻塞性肺疾病(COPD)、哮喘等呼吸系统疾病一样具有系统性炎症成分<sup>[2]</sup>。Toll 样受体(Toll-like receptors, TLRs)是最重要的天然免疫受体,其Toll 样受体4(Toll-like receptor 4, TLR4)生物学作用广泛,参与多种炎症过程<sup>[3]</sup>,c-Jun 氨基末端激酶(c-Jun N-terminal kinase, JNK)是TLRs 信号通路的下游受体。另外,作为最重要的炎症细胞因子肿瘤坏死因子-α(TNF-

2013-09-27 接收

基金项目: 国家自然科学基金 (编号: 81060009); 广西卫生厅重点科 研项目(编号: 重 2010047)

作者单位: 桂林医学院 桂林 541001

作者简介: 龙冠晗 ,男 .硕士研究生;

陈梅晞,女 教授,硕士生导师,责任作者,E-mail: chenmx @ glmc. edu. cn α)、瘦素( Leptin) 与 OSAS 密切相关。该研究观察 OSAS 大鼠模型血清 TNF-α、Leptin 水平的变化,旨在进一步认识其炎症机制,并与脂肪组织 TLR4、JNK 表达值的相关性进行对比研究。

#### 1 材料与方法

1.1 实验动物与分组 雄性 SPF 级 SD 大鼠 24 只 200~250 g ,由桂林医学院实验动物中心提供 ,动物饲养于无毒塑料笼中。将大鼠随机分成 3 组 ,每组 8 只。对照组: 置于相同规格舱内 ,无缺氧 ,6 周; 慢性间歇性缺氧 ( chronic intermittent hypoxia , CIH) 6 周组 ( CIH 6 周组 ) ,每天置于低氧舱内 8 h ,共 8 周。 1.2 主要仪器与试剂 JXOC-12 型低压氧舱全自动控制仪 (南京新飞分析仪器制造有限公司); ALC-NIBP 型大鼠尾动脉血压测量仪 (上海奥尔科特生物科技有限公司); MLDEL680 酶标仪 (美国 Bio-Rad公司); Leptin 大鼠专用 ELISA 试剂盒 (深圳达科为生物技术公司); QPCR 仪 (美国 Life Technologies 公司)。

#### 1.3 方法

- 1.3.1 CIH 模型的建立 模型组大鼠予适应性饲养 1 周后 给予低氧干涉。将氮气快速充入低氧舱使氧浓度降到 8% 維持 60 s,然后快速充入纯氧使氧浓度上升到 21%,维持 30 s。每次循环为 120 s,氧浓度维持在 8%~21%之间,每天 8 h(9:00~17:00)。实验期间禁食、禁水,对照组每天置相同规格有机玻璃舱内,空气输入。
- 1.3.2 大鼠尾动脉压的测定 利用大鼠尾动脉无创血压测量仪测定大鼠尾动脉血压 ,方法如下:实验前将大鼠放入固定舱内适应 30 min ,7 d 后测量血压 ,在安静环境下 ,固定大鼠 ,用压脉套套住大鼠尾部近心端 ,调节恒温毯至 37~39 ℃ ,换能器表面对准鼠尾腹面 ,待计算机上显示等幅规律摆动的脉搏波动 ,点击编辑窗内的自动充放气 ,测量结束后 ,记录此时收缩压。每只大鼠自动测量 5 次 取平均值。1.3.3 HE 染色 造模结束后 ,各组大鼠脱颈处

死、迅速取出大鼠肾动脉,用 4% 多聚甲醛约6 ml 固定过夜 梯度乙醇常规脱水、石蜡包埋,切片经染色处理后,中性树胶封片,光学显微镜下观察模型大鼠肾动脉组织学变化。

- **1.3.4** 大鼠血浆中  $TNF_{-\alpha}$ 、Leptin 的检测 实验结束次日上午 9 时,处死大鼠后立即心脏取血,采用 ELISA 法按照说明书步骤进行检测。
- 1.3.5 实时荧光定量 PCR 方法的建立 ACTB 上 游引物序列(187 bp): 5'-CATTGTCACCAACTGG-GACGATA-3′; 下游引物: 5′-GGATGGCTACGTA-CATGGCTG-3′; JNK 上游引物序列 (186 bp): 5′-ACTCGAGCCAGAATGAGGAC-3′; 下游引物: 5′-GAAGCCTTCCTGGATGATGT-3′; TLR4 上游引物序 列(142 bp): 5′-TGACGCCTTACGTGGTAACT-3′; 下 游引物: 5'-GGTGTTCCGAGCTGTTCAAT-3'。采用 TRIzol 法提取总 RNA: 将研磨后的脂肪组织粉末转 移至2 ml EP 管内 ,加入1 ml TRIzol ,置于冰浴上 , 静置 10 min 加 200 μl 氯仿震荡混匀 冰浴上静置 5 min 4 ℃、12 000 r/min 离心 15 min 将上清液移至 新的 EP 管中,加入等体积的异丙醇 静置 15 min A ℃、12 000 r/min 离心 10 min ,可见到管底部白色沉 淀 弃上清液 向沉淀中缓慢加入 1 ml 75% 乙醇溶 液 轻轻上下颠倒洗涤管壁及管底沉淀 4 ℃、12 000 r/min 离心 5 min ,小心去除乙醇保留沉淀 ,室温下 晾干离心管 加入 30 µl DEPC 水溶解沉淀。用紫外 分光光度计检测 RNA 浓度及纯度。建立实时定量 PCR 反应体系,见表 1。实时荧光定量 PCR 扩增反 应条件: 95 ℃ 预变性 2 min 95 ℃变性 10 s 60 ℃复 性 30 s 70 ℃延伸 30 s 40 个循环。测定脂肪组织 β-actin(基因名为 ACTB)、JNK、TLR4 mRNA 表达水 平。大鼠脂肪组织 ACTB、JNK、TLR4 mRNA 表达水 平的检测:  $\Delta\Delta$ CT 值 = 样本 CT 值 - 内参 CT 值 ,以 2-ΔΔCI 比较各组间 mRNA 实时荧光定量 PCR 拷贝数 的差异。
- 1.4 统计学处理 采用 SPSS 18.0 统计软件进行分析 数据以 $\bar{x} \pm s$  表示 ,采用方差分析检测组间的总差异,两两比较采用 q 检验 相对定量的结果采用  $2^{-\Delta\Delta C}$ 方法进行处理。

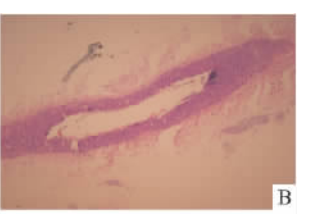
#### 2 结果

2.1 大鼠肾动脉病理学变化 与对照组比较 ,CIH 6 周组和 CIH 8 周组肾动脉管壁明显增厚 ,但是 CIH 8 周组比CIH 6周组动脉管壁增厚更明显 ,官腔狭窄更明显。见图 1。

表 1 实时荧光定量 PCR 反应体系

试剂	体积( μl)
$H_2O$	12.3
$10 \times PCR$ Buffer	2.0
Mg <sup>2+</sup> (25 mmol/L)	2.0
dNTPs(25 mmol/L)	0.5
Forward Primer ( 10 µmol/L)	0.5
SYBR (20 ×)	1.0
Reverse Primer (10 µmol/L)	0.5
PLATINUM Taq POLYMERASE	0.2
Template DNA	1.0
总计	20.0





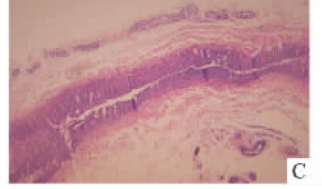


图 1 大鼠肾动脉病理切片 × 200

A: 对照组; B: CIH 6 周组; C: CIH 8 周组

2.2 大鼠尾动脉血压 各组大鼠实验前鼠尾动脉 收缩压差异无统计学意义(F=1.06,P>0.05);实验后,CIH 6 周组、CIH 8 周组大鼠血压明显高于对照组(F=1.083,P<0.01),对照组大鼠尾动脉收缩压与实验前比较差异无统计学意义。见表 2。

表 2 实验前后大鼠尾动脉血压 $(n=8 \bar{x} \pm s)$ 

组别	实验前血压( kPa)	实验后血压( kPa)
对照	$14.23 \pm 0.17$	14.46 ± 0.13
CIH 6 周	$14.37 \pm 0.24$	$18.35 \pm 0.17^*$
CIH 8 周	$14.25 \pm 0.20$	$19.44 \pm 0.30 $ * *

与对照组比较: \* P < 0.05 , \* \* P < 0.01

2.3 各组大鼠血清  $TNF-\alpha$ 、Leptin 含量的变化 CIH 6 周组和 CIH 8 周组血清  $TNF-\alpha$ 、Leptin 的含量 显著高于对照组(F = 545、489 P < 0.01); CIH 8 周组的  $TNF-\alpha$ 、leptin 含量明显高于 CIH 6 周组(P < 0.01) , $TNF-\alpha$ 、Leptin 的含量随缺氧天数的增加而显著增加。见表 3。

表3 各组大鼠血清 TNF- $\alpha$ 、Leptin 表达水平(n=8  $x \pm s$ )

组别	TNF-α( μg/L)	Leptin( μg/L)
对照	$0.23 \pm 0.02$	$0.20 \pm 0.03$
CIH 6 周	$0.65 \pm 0.04 * *$	$0.51 \pm 0.05 * *$
CIH 8 周	$1.10 \pm 0.08 * * ##$	$0.89 \pm 0.05 * * ##$

与对照组比较: \*\*P<0.01; 与 CIH 6 周组比较: ##P<0.01

- 2.4 TLR4、JNK 扩增曲线和熔解曲线 ACTB、TLR4、JNK 扩增曲线显示荧光强度和初始拷贝数呈良好的线性关系。熔解曲线峰值单一 没有杂峰 表明实时 PCR 产物纯度较高 ,反应具有良好的特异性 ,见图 2。
- 2.5 大鼠脂肪组织 TLR4、JNK mRNA 表达水平的检测 与对照组比较,CIH 6 周组和 CIH 8 周组的 TLR4、JNK mRNA 表达水平显著增加 (F = 529、539 P < 0.01); CIH 8 周组的 TLR4、JNK mRNA 表达水平明显高于 CIH 6 周组(P < 0.01),,TLR4、JNK mRNA 表达水平随缺氧天数的增加而显著增加。见表 4。

表 4 各组大鼠脂肪组织 TLR4、JNK mRNA 实时 PCR 2  $^{-\Delta\Delta Ct}$  值(n=8  $\bar{x}\pm s$ )

组别	TLR4	JNK
对照	$1.62 \times 10^{-2} \pm 0.05 \times 10^{-2}$	$8.92 \times 10^{-3} \pm 0.34 \times 10^{-3}$
CIH 6 周	$2.21 \times 10^{-2} \pm 0.06 \times 10^{-2} *$	1.30 $\times$ 10 $^{-2}$ $\pm$ 0.05 $\times$ 10 $^{-2}$ * *
CIH 8 周	$2.49 \times 10^{-2} \pm 0.05 \times 10^{-2} * * ##$	$1.81 \times 10^{-2} \pm 0.07 \times 10^{-2} * * ##$

与对照组比较: \*\*P<0.01; 与 CIH 6 周组比较: ##P<0.01

#### 3 讨论

OSAS 患者广泛存在脂肪代谢紊乱 ,脂肪组织过度堆积会导致脂肪因子分泌紊乱 ,这些炎性介质的大量释放 引发局部和系统性炎症反应<sup>[4]</sup>。 OSAS 患者夜间睡眠中反复发生低氧 ,缺氧一再氧合循环生成一系列活性氧基团( ROS) 从而促进氧化应激反应<sup>[5]</sup>。

本研究中 CIH 能使模型组 SD 大鼠尾动脉压显著高于对照组;通过大鼠肾动脉 HE 染色结果显示: CIH 6 周组和 CIH 8 周组肾动脉管壁比对照组明显增厚 ,且 CIH 8 周组比 CIH 6 周组动脉管壁增厚更明显 ,官腔狭窄更明显。本研究结果提示 OSAS 大鼠模型复制成功。

TNF-α 是炎症因子免疫调节环节中的核心因子 是脂质代谢紊乱、低氧等造成的组织脏器损伤中最重要的损伤启动因子<sup>[6]</sup>。 Leptin 是由脂肪细胞合成分泌的肽类激素。研究<sup>[7]</sup>表明血清 Leptin 水平

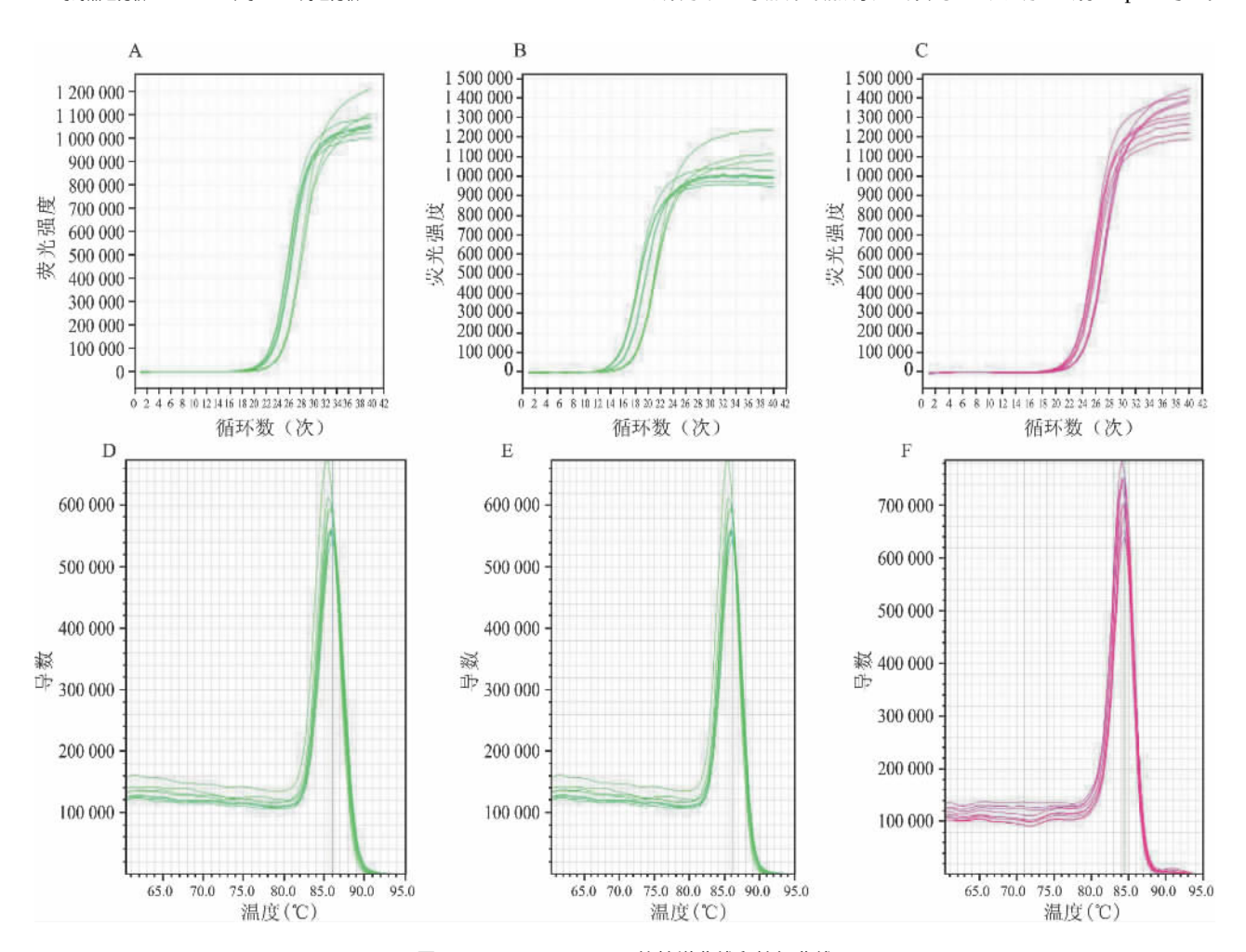


图 2 ACTB、TLR4、JNK 的扩增曲线和熔解曲线 A、B、C: 扩增曲线; D、E、F: 熔解曲线; A、D: ACTB; B、E: TLR4; C、F: JNK

与呼吸暂停低通气指数及体重指数呈正相关。本研 究通过检测不同间歇缺氧周数的 OSAS 大鼠血清中 的 TNF-α、Leptin 的含量 ,发现 CIH 6 周组和 CIH 8 周组大鼠血清 TNF-α、Leptin 的含量比对照组明显 增加,且在本研究时间范围内,大鼠血清 TNF-α、 Leptin的含量呈一定的时间依赖性。由此推测 TNF-α、Leptin 作为重要的细胞因子参与了 OSAS 的 病理过程。TLRs 是重要的细胞膜受体,是炎症信号 传递门户蛋白。TLR4 介导的信号通路与细胞间通 讯在 OSAS 发病机制中发挥重要作用[8]。 JNK 信号 通路可被细胞因子、应激等多种因素激活 许多实验 证实 JNK 与许多疾病有密切联系<sup>[9]</sup>。本研究通过 检测不同间歇缺氧周数的 OSAS 大鼠脂肪组织中的 TLR4、JNK mRNA 表达 ,发现 CIH 6 周组大鼠脂肪 组织中的 TLR4、JNK mRNA 表达即出现上调 并随 间歇缺氧时间延长表达增加 ,且血清 TNF-α、Leptin 的含量与各组大鼠脂肪组织中 TLR4、JNK mRNA 表 达水平一致。研究<sup>[10]</sup> 显示 TLR4 通过其 TIR 结构 域进行胞内信号转导,TLR4 可通过 JNK、ERK、 P38MAPK 等 MAPK 激酶与 PI-3K 激酶被激活,进而 活化核内转录激活因子(activating protein-1,AP-1) 等转录因子,从而调节 TNF-α、IL-1、IL-6 等细胞因 子 黏附分子和炎症因子的转录表达 进而影响免疫 与炎症反应。

综上所述,本研究结果初步显示 TLR4 介导的 JNK 信号通路可能参与了 OSAS 大鼠的炎症反应, 并对 OSAS 大鼠血清 TNF-α、Leptin 的含量可能有重要影响。

#### 参考文献

- [1] 时 鹏 汪文静. 阻塞性睡眠呼吸暂停低通气综合征患者轻度 认知功能障碍的评估 [J]. 安徽医科大学学报 2010 A5(5): 718-20.
- [2] Jelie S ,Le Jemtel T H. Inflammation oxidative stress and the vascular endothelium in obstructive sleep apnea [J]. Trends Cardiovasc Med , 2008 ,18(7): 253 – 60.
- [3] Parker L C , Prince L R , Sabroe I. Translational Mini review series on toll-like receptors: net works regulated by toll-like receptors mediate innate and adaptive immunity [J]. Clin Exp Immunol , 2007 ,147(2):199 –207.
- [4] Espinola-Klein C ,Gori T ,Blankenberg S ,et al. Inflammatory markers and cardiovascular risk in the metabolic syndrome [J]. Front Biosci 2011 ,16: 1663 74.
- [5] Bahammam A. Obstructive sleep apnea: from simple upper airway obstruction to systemic inflammation [J]. Ann Saudi Med 2011, 31(1):1-2.
- [6] Kim K I , Lee J H , Chang H J ,et al. Association between blood pressure variability and inflammatory marker inhypertensive patients [J]. Circ J 2008 72(2):293 – 8.
- [7] Zirlik S ,Hauck T ,Fuchs F S , et al. Leptin ,obestatin and apelin levels in patients with obstructive sleep apnoea syndrome [J]. Med Sci Monit 2011 ,17(3): CR159 – 64.
- [8] Kim S Y , Choi Y J , Joung S M , et al. Hypoxic stress up-regulates the expression of Toll-like receptor 4 in macrophages via hypoxiainducible factor[J]. Immunology 2010 ,129(4):516 – 24.
- [9] Johnson G L , Nakamura K. The c-jun kinase/stress-activated pathway: regulation , function and role in human disease [J]. Biochim Biophys Acta , 2007 , 1773 (8): 1341 – 8.
- [10] Ahmad-Nejad P ,Häcker H ,Rutz M ,et al. Bacterial CpG-DNA and lipopolysaccharides activate Toll-like receptors at distinct cellular compartments [J]. Eur J Immunol 2002 32(7): 1958 – 68.

## Correlation between Toll-like receptor 4, C-Jun N-terminal kinase ,tumor necrosis factor- $\alpha$ , Leptin changes and chronic intermittent hypoxia of rats

Long Guanhan , Chen Meixi , Cheng Jun ( Guilin Medical College , Guilin 541001)

Abstract *Objective* To investigate the association between TLR4  $\mathcal{L}$ -Jun N-terminal kinase tumor necrosis factor— $\alpha$ (TNF- $\alpha$ ) Leptin changes and chronic intermittent hypoxia(CIH). *Methods* Twenty-four SD rats were divided into 3 groups (n=8): control group  $\mathcal{L}$ CH 6 weeks group, CIH 8 weeks group. After the modeling the change of blood pressure and renal artery were observed by the use of non-invasive blood pressure analyzer and HE staining. ELISA was employed to determine the production of TNF- $\alpha$  and Leptin in sera of these animals. The expressions of TLR4 and JNK mRNA were detected by real time quantitativer everse transcription-polymerase chain reaction (QRT-PCR) method in the adipose tissue. *Results* The blood pressure in intermittent hypoxia group was significantly higher than those in control group(P < 0.01), and the renal artery pathological changes in intermittent hy-

### 硫化氢对糖尿病大鼠心肌损伤保护作用及其抗凋亡机制

贾 强12 杨 锐2, 马善峰2, 刘小粉2, 吴继锋1

目的 观察硫化氢(H,S)对糖尿病大鼠心肌损伤的 保护作用及其抗凋亡机制。方法 雄性 SD 大鼠随机分为正 常对照组(NC组)、糖尿病对照组(DM组)、硫氢化钠 (NaHS) 治疗组(NaHS + DM 组)和 NaHS 对照组(NaHS 组)。 采用链脲佐菌素(STZ)55 mg/kg 腹腔注射诱导糖尿病大鼠 模型 造模成功 8 周后行离体心脏灌流 ,测定左心室动力学 指标; 电镜观察心肌细胞超微结构改变; 采用分光光度法检 测心肌组织 Caspase-3 的活性; RT-PCR 检测左心室心尖组织 Bcl-2、Bax mRNA 的表达。结果 与 NC 组相比 ,NaHS 组各 项指标差异均无统计学意义(P>0.05),而 DM 组左心室发 展压(LVDP)、左心室内压最大上升速率和下降速率(±dp/  $dt_{max}$ ) 均明显降低(P < 0.01); 左心室舒张末压(LVEDP) 明 显增大(P < 0.01); 心肌纤维断裂,线粒体肿胀,嵴断裂消 失; 心肌组织 Caspase-3 的活性明显增加(P<0.01); Bcl-2/ Bax mRNA 比值降低(P<0.01)。与 DM 组相比 NaHS+DM 组 LVDP、 $\pm dp/dt_{max}$ 增加(P < 0.05,P < 0.01),LVEDP 明显 降低(P<0.05),心肌超微结构损伤明显改善,Caspase-3 活 性明显降低(P < 0.01), Bcl-2/Bax mRNA 比值升高(P < 0.01)。结论 H<sub>2</sub>S 对糖尿病大鼠心肌损伤具有保护作用, 其机制可能与抗心肌细胞凋亡途径有关。

关键词 硫化氢; 心肌损伤; 糖尿病; 凋亡中图分类号 R 363.2

文献标志码 A 文章编号 1000 - 1492(2014)02 - 0172 - 05

2013-09-09 接收

基金项目: 安徽省教育厅自然科学研究项目(编号: KJ2007B111、 KJ2013B146); 蚌埠医学院科研项目(编号: BY0907、 BYKY1312)

作者单位: <sup>1</sup>安徽医科大学病理学教研室 启肥 230032 <sup>2</sup>蚌埠医学院生理学教研室 蚌埠 233030

作者简介: 贾 强 男 硕士研究生;

吴继锋 男 教授 硕士生导师 责任作者 Æ-mail: aydwjf@126.com

糖尿病心肌病是糖尿病最严重的并发症之一, 其病理改变主要表现为心肌肥厚和间质纤维化 ,临 床早期表现为心脏舒张功能不全、晚期表现为心脏 收缩功能不全 常见的并发症为心力衰竭及心律失 常[1]。心肌细胞的凋亡在糖尿病心肌病的发展过 程中起重要的作用[2-3]。硫化氢(hydrogen sulfide, H<sub>2</sub>S) 是继一氧化氮(nitric oxide ,NO) 和一氧化碳 (carbon monoxide CO) 之后的第3种新型气体信号 分子[4]。研究[5]表明,内源性 H<sub>2</sub>S 参与了许多心血 管系统的生理与病理生理过程,有抑制心肌细胞凋 亡的作用<sup>[6]</sup>。但是 ,H<sub>2</sub>S 对大鼠糖尿病心肌病的作 用,尤其是抗凋亡作用尚未见报道。该文通过建立 糖尿病大鼠心肌损伤动物模型 研究 H。S 对糖尿病 心肌病大鼠的心脏功能、心肌细胞凋亡相关蛋白活 性和基因表达的影响,探讨 H<sub>2</sub>S 对糖尿病大鼠心肌 损伤的保护作用及其可能机制。

#### 1 材料与方法

- 1.1 实验动物 健康雄性 SD 大鼠 32 只 清洁级 , 体质量  $180 \sim 220$  g ,由安徽医科大学实验动物中心提供。
- 1.2 主要试剂 链脲佐菌素(steptozotocin STZ)和硫氢化钠(sodium hydrosulfide ,NaHS)均购自 Sigma公司; RNAiso Plus 试剂和 RT-PCR 逆转录试剂盒均购自 TaKaRa 公司; Caspase-3 活性检测试剂盒购自碧云天生物技术研究所; PCR 引物均由南京金斯瑞生物科技有限公司合成。
- 1.3 动物模型制备与分组 雄性 SD 大鼠 32 只,适应性饲养 1 周后随机分为正常组 16 只和糖尿病组 16 只。糖尿病组大鼠空腹 12 h 后,一次性腹腔

poxia group were significantly heavier than those in control group; the content of TNF- $\alpha$  and Leptin in intermittent hypoxia was significantly higher than those in control group(P < 0.01) and the content of TNF- $\alpha$  and Leptin was significantly increased with the days of hypoxia; the expression of TLR4 and JNK at mRNA levels in intermittent hypoxia was significantly higher than those in control group(P < 0.01) and the expression of TLR4 and JNK at mR-NA levels was significantly increased with the days of hypoxia. **Conclusion** TLR4 JNK ,TNF- $\alpha$  ,Leptin may be involved in the inflammatory response of chronic intermittent hypoxia in rats.

**Key words** chronic intermittent hypoxia; Toll-like receptor 4; C-Jun N-terminal kinase; tumor necrosis factor-α; Leptin